

УДК 546.47:54-386:539.26

**КРИСТАЛЛИЧЕСКАЯ СТРУКТУРА СЛОИСТЫХ МЕТАЛЛ-ОРГАНИЧЕСКИХ  
КООРДИНАЦИОННЫХ ПОЛИМЕРОВ НА ОСНОВЕ  
ТРЕХЪЯДЕРНЫХ КАРБОКСИЛАТНЫХ КОМПЛЕКСОВ  
ЦИНКА  $[Zn_3(DMA)_2(bpdc)_3] \cdot 3DMA$  И  $[Zn_3(im)_2(bdc)_3] \cdot 1,5H_2O$**

**С.Б. Алиев<sup>1</sup>, Д.Г. Самсоненко<sup>1,2</sup>, В.П. Федин<sup>1,2</sup>**

<sup>1</sup>Институт неорганической химии им. А.В. Николаева СО РАН, Новосибирск

E-mail: cluster@niic.nsc.ru

<sup>2</sup>Новосибирский национальный исследовательский государственный университет

Статья поступила 2 мая 2012 г.

Новые слоистые металл-органические координационные полимеры состава  $[Zn_3(bpdc)_3 \cdot (DMA)_2] \cdot 3DMA$  (**1**) ( $H_2bpdc = 4,4'$ -бифенилдикарбоновая кислота, DMA = диметилацетамид) и  $[Zn_3(bdc)_3(im)_2] \cdot 1,5H_2O$  (**2**) ( $H_2bdc =$  бензол-1,4-дикарбоновая кислота, im = имидазол) получены и структурно охарактеризованы методом РСА.

**Ключевые слова:** цинк, кристаллическая структура, координационные полимеры, металл-органические каркасы, карбоновые кислоты.

**ВВЕДЕНИЕ**

Металл-органические координационные полимеры (МОКП) — кристаллические соединения, состоящие из ионов металлов, координированных мостиковыми органическими лигандами с образованием одно-, двух- и трехмерных структур [1—4]. Дизайн и синтез МОКП на основе переходных металлов и органических линкеров привлекает большим разнообразием топологий и возможностями применения магнитных, люминесцентных, сенсорных и катализитических свойств полученных соединений. На сегодняшний день получен ряд МОКП на основе карбоксилатов переходных металлов [5—9]. Однако рациональный дизайн новых гетеролигандных пористых координационных полимеров остается важной проблемой.

В настоящей работе мы сообщаем о синтезе и строении двух новых слоистых МОКП состава  $[Zn_3(bpdc)_3(DMA)_2] \cdot 4DMA$  (**1**) и  $[Zn_3(bdc)_3(im)_2] \cdot 1,5H_2O$  (**2**).

**ЭКСПЕРИМЕНТАЛЬНАЯ ЧАСТЬ**

Исходные реагенты  $Zn(NO_3)_2 \cdot 6(H_2O)$ ,  $Zn(CH_3COO)_2 \cdot 2H_2O$ , N,N'-диметилформамид (DMF), N,N'-диметилацетамид (DMA, dma), имидазол (im), бензол-1,4-дикарбоновая ( $H_2bdc$ ) и 4,4'-бифенилдикарбоновая ( $H_2bpdc$ ) кислоты марки ХЧ были использованы без дополнительной очистки.

**Синтез  $[Zn_3(bpdc)_3(DMA)_2] \cdot 3DMA$  (1).** К смеси 0,060 г (0,25 ммоль) 4,4'-бифенилдикарбоновой кислоты и 0,055 г (0,25 ммоль)  $Zn(CH_3COO)_2 \cdot 2H_2O$  добавляли 15 мл DMA. Полученную смесь обрабатывали ультразвуком в течение 5 мин. Полученный бесцветный раствор термостабилизировали в стеклянном флаконе с завинчивающейся крышкой при 100 °C в течение 24 ч. Выпали крупные бесцветные кристаллы пластинчатой формы. Получили 0,14 г продукта. Выход по  $Zn(CH_3COO)_2 \cdot 2H_2O$  составил 40 %.

**Синтез  $[Zn_3(bdc)_3(im)_2] \cdot 1,5H_2O$  (2).** К смеси 0,14 г (0,84 ммоль) бензол-1,4-дикарбоновой кислоты, 0,040 г (0,6 ммоль) имидазола и 0,24 г (0,81 ммоль)  $Zn(NO_3)_2 \cdot 6H_2O$  добавляли 15 мл DMF. Полученную смесь обрабатывали ультразвуком в течение 5 мин. Полученный бесцветный раствор термостатировали в стеклянном флаконе с завинчивающейся крышкой при 100 °C в течение 24 ч. Выпали крупные бесцветные кристаллы пластинчатой формы. Получили 0,20 г продукта. Выход по  $Zn(NO_3)_2 \cdot 6H_2O$  составил 30 %.

**Рентгеноструктурное исследование.** Дифракционные данные получены при 150 K на автоматических четырехкружных дифрактометрах Bruker Apex Duo (для кристалла 1) и Bruker Apex II (для кристалла 2), оснащенных двухкоординатным детектором (графитовый монохроматор, сканирование по  $\phi$  и  $\omega$ ). Кристаллографические данные и детали дифракционных экспериментов приведены в табл. 1. Учет поглощения проводили по расходимости эквивалентных отражений с использованием программы SADABS [10]. Структуры расшифрованы прямым методом и уточнены полноматричным МНК в анизотропном (за исключением атомов водорода) приближении с использованием пакета программ SHELX-97 [11]. Позиции атомов водорода органических лигандов рассчитаны геометрически и уточнены по модели наездника. Атомы водорода молекул воды локализованы не были. Величины основных межатомных расстояний и валентных углов приведены в табл. 2 и 3. Полные таблицы межатомных расстояний и валентных углов, координаты атомов и параметры атомных смещений депонированы в Кембриджский банк структурных данных (CCDC 879319 и 879320), а также могут быть получены у авторов.

Таблица 1

## Кристаллографические данные и детали рентгеноструктурного эксперимента

Характеристика	1	2
Брутто-формула	$C_{62}H_{69}N_5O_{17}Zn_3$	$C_{30}H_{23}N_4O_{13,5}Zn_3$
$M$ , г/моль	1352,33	851,63
$\lambda$ , Å	1,54178 ( $CuK_\alpha$ )	0,71073 ( $MoK_\alpha$ )
Сингония	Моноклинная	Моноклинная
Пр. группа	$P2_1/n$	$P2_1/n$
$a, b, c$ , Å; $\beta$ , град.	12,1127(4), 14,2276(5), 20,1002(7); 102,058(2)	14,8084(5), 9,4799(4), 15,5376(6); 104,717(1)
$V$ , Å <sup>3</sup>	3387,5(2)	2109,64(14)
$Z$	2	2
$\rho_{\text{выч}}$ , г/см <sup>3</sup>	1,326	1,341
$\mu$ , мм <sup>-1</sup>	1,802	1,750
$F(000)$	1404	858
Размер кристалла, мм	0,20×0,15×0,10	0,24×0,07×0,06
Область сканирования по $\theta$ , град.	3,84—67,90	2,54—28,37
Диапазон индексов $h, k, l$	$-15 < h < 10, -17 < k < 17,$ $-24 < l < 21$	$-20 < h < 20, -13 < k < 13,$ $-21 < l < 21$
Измер. / независ. отражений	33430 / 5997	36799 / 5232
$R_{\text{int}}$	0,0271	0,0394
Отражений с $F > 4\sigma(F)$	5482	4574
$T_{\max} / T_{\min}$	0,8404 / 0,7145	0,9023 / 0,6788
Добротность по $F^2$	1,072	1,105
$R$ -факторы [ $F > 4\sigma(F)$ ]	$R_1 = 0,0553, wR_2 = 0,1740$	$R_1 = 0,0660, wR_2 = 0,2172$
$R$ -факторы (по всем отражениям)	$R_1 = 0,0592, wR_2 = 0,1775$	$R_1 = 0,0732, wR_2 = 0,2237$
Ост. электронная плотность (max / min), е/Å <sup>3</sup>	1,417 / -0,487	2,178 / -0,931

Таблица 2

## Основные длины связей и величины валентных углов в 1

Связь	<i>d</i> , Å	Угол	$\omega$ , град.	Угол	$\omega$ , град.
Zn(1)—O(11)	2.006(3)	O(11)—Zn(1)—O(12)	57.04(11)	O(22')—Zn(2)—O(12)	85.1(5)
Zn(1)—O(21)	1.942(3)	O(21)—Zn(1)—O(11)	122.85(13)	O(22')—Zn(2)—O(12) <sup>iii</sup>	94.9(5)
Zn(2)—O(12)	2.083(3)	O(21)—Zn(1)—O(12)	90.92(13)	O(22') <sup>iii</sup> —Zn(2)—O(22')	180
Zn(2)—O(22)	2.060(6)	O(21)—Zn(1)—O(1D)	96.78(12)	O(22')—Zn(2)—O(24) <sup>ii</sup>	88.2(8)
Zn(2)—O(22')	2.032(8)	O(23) <sup>i</sup> —Zn(1)—O(11)	112.38(13)	O(22')—Zn(2)—O(24) <sup>i</sup>	91.8(8)
Zn(2)—O(24) <sup>ii</sup>	2.073(6)	O(23) <sup>i</sup> —Zn(1)—O(12)	98.90(13)	O(24) <sup>ii</sup> —Zn(2)—O(12)	84.35(19)
Zn(2)—O(24') <sup>ii</sup>	2.042(6)	O(23) <sup>i</sup> —Zn(1)—O(21)	118.96(11)	O(24) <sup>i</sup> —Zn(2)—O(12)	95.65(19)
		O(23) <sup>i</sup> —Zn(1)—O(1D)	96.26(12)	O(24) <sup>i</sup> —Zn(2)—O(24) <sup>ii</sup>	180
		O(1D)—Zn(1)—O(11)	101.07(13)	O(24') <sup>i</sup> —Zn(2)—O(12)	87.6(4)
		O(1D)—Zn(1)—O(12)	156.99(12)	O(24') <sup>ii</sup> —Zn(2)—O(12)	92.4(4)
		O(12)—Zn(2)—O(12) <sup>iii</sup>	180.0	O(24') <sup>ii</sup> —Zn(2)—O(22)	86.8(6)
		O(22)—Zn(2)—O(12) <sup>iii</sup>	89.29(19)	O(24') <sup>i</sup> —Zn(2)—O(22)	93.2(6)
		O(22)—Zn(2)—O(12)	90.71(19)	O(24') <sup>ii</sup> —Zn(2)—O(24') <sup>i</sup>	180
		O(22)—Zn(2)—O(22) <sup>iii</sup>	180	Zn(2)—O(12)—Zn(1)	103.58(13)

Координаты зависимых атомов получены следующими операциями симметрии: <sup>i</sup>  $x+1/2, -y+1/2, z-1/2$ ;  
<sup>ii</sup>  $-x-1/2, y+1/2, -z+1/2$ ; <sup>iii</sup>  $-x, -y+1, -z$ .

Таблица 3

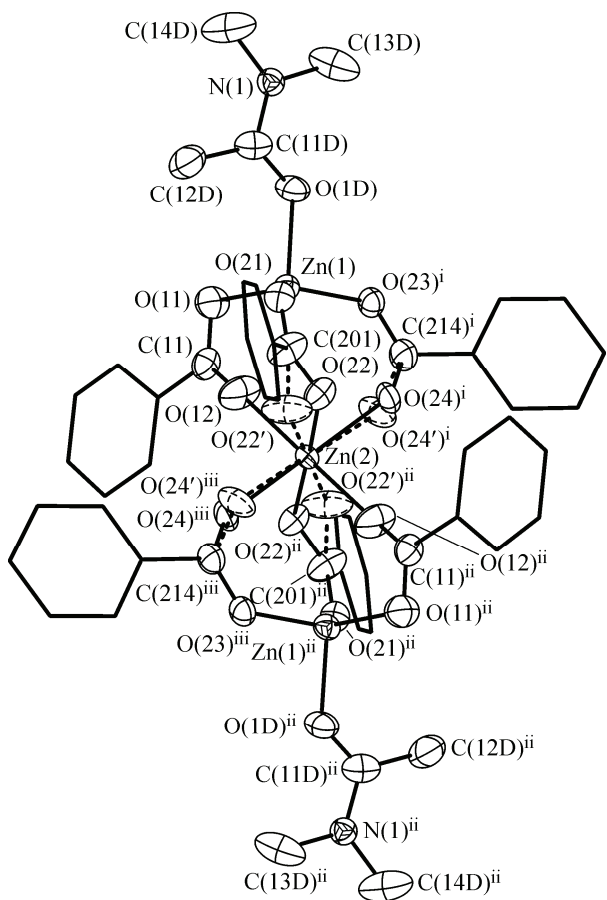
## Основные длины связей и величины валентных углов в 2

Связь	<i>d</i> , Å	Угол	$\omega$ , град.	Угол	$\omega$ , град.
Zn(1)—O(11)	1.961(3)	O(11)—Zn(1)—O(21)	107.91(13)	O(12) <sup>iii</sup> —Zn(2)—O(12)	180
Zn(1)—O(13) <sup>i</sup>	1.952(4)	O(11)—Zn(1)—N(1)	101.3(2)	O(12)—Zn(2)—O(21) <sup>iii</sup>	89.72(12)
Zn(1)—O(21)	2.010(3)	O(11)—Zn(1)—O(1M)	166.5(6)	O(12)—Zn(2)—O(21)	90.28(12)
Zn(1)—N(1)	1.967(5)	O(13) <sup>i</sup> —Zn(1)—O(11)	109.28(19)	O(14) <sup>ii</sup> —Zn(2)—O(12)	84.63(13)
Zn(1)—O(1M)	2.376(19)	O(13) <sup>i</sup> —Zn(1)—O(21)	99.52(14)	O(14) <sup>i</sup> —Zn(2)—O(12)	95.37(13)
Zn(2)—O(12)	2.057(3)	O(13) <sup>i</sup> —Zn(1)—N(1)	99.6(2)	O(14) <sup>ii</sup> —Zn(2)—O(14) <sup>i</sup>	180
Zn(2)—O(14) <sup>ii</sup>	2.041(3)	O(13) <sup>i</sup> —Zn(1)—O(1M)	82.8(6)	O(14) <sup>i</sup> —Zn(2)—O(21)	89.80(12)
Zn(2)—O(21)	2.183(3)	O(21)—Zn(1)—O(1M)	74.9(5)	O(14) <sup>ii</sup> —Zn(2)—O(21)	90.20(12)
		N(1)—Zn(1)—O(21)	137.1(2)	O(21) <sup>iii</sup> —Zn(2)—O(21)	180
		N(1)—Zn(1)—O(1M)	69.9(5)	Zn(1)—O(21)—Zn(2)	104.51(13)

Координаты зависимых атомов получены следующими операциями симметрии: <sup>i</sup>  $x+1/2, -y+3/2, z+1/2$ ;  
<sup>ii</sup>  $-x-1/2, y-1/2, -z+1/2$ ; <sup>iii</sup>  $-x, -y+1, -z+1$ .

## РЕЗУЛЬТАТЫ И ИХ ОБСУЖДЕНИЕ

Металл-органический координационный полимер **1** получен при нагревании раствора ацетата цинка и 4,4'-бифенилдикарбоновой кислоты в N,N'-диметилацетамиде. Кристаллическая структура соединения **1** установлена методом РСА. В структуре **1** присутствуют два кристаллографически независимых катиона цинка. Тетраэдрическое координационное окружение Zn(1) состоит из трех атомов кислорода (O(11), O(21), O(23)) карбоксильных групп трех лигандов bpdc<sup>2-</sup> и одного атома кислорода (O(1D)) лиганда dma (рис. 1). Октаэдрическое окружение



соседних слоев. Оставшееся пространство в полостях внутри слоя занимают гостевые молекулы DMA.

Металл-органический координационный полимер **2** получен при нагревании раствора нитрата цинка, бензол-1,4-дикарбоновой кислоты и имидазола в DMF. Кристаллическая структура соединения **2** установлена методом РСА. В структуре **2** присутствуют два кристаллографически независимых катиона цинка. Координационное окружение Zn(1) состоит из трех атомов кислорода (O(11), O(13), O(21)) карбоксильных групп трех лигандов bdc<sup>2-</sup>, атома азота (N(1)) молекулы имидазола и атома кислорода (O(1M)) молекулы воды (рис. 4). Длины связей Zn(1)—O(bdc) лежат в диапазоне 1,952(4)—2,010(3) Å, расстояние Zn(1)—N(1) составляет 1,967(5) Å.



Рис. 2. Строение слоя соединения 1.  
Атомы водорода и гостевые молекулы DMA  
не показаны

Рис. 1. Координационное окружение катионов цинка в **1**. Координаты зависимых атомов получены следующими операциями симметрии: <sup>i</sup> 1/2+x, 1/2-y, -1/2+z; <sup>ii</sup> -x, 1-y, -z; <sup>iii</sup> -1/2-x, 1/2+y, 1/2-z

Zn(2) состоит из шести атомов кислорода (O(12), O(22), O(24)) карбоксильных групп шести лигандов bpdc<sup>2-</sup>, при этом 4 из шести атомов кислорода четырех карбоксильных групп лигандов bpdc<sup>2-</sup> разупорядочены по двум позициям (O(22), O(22'), O(24), O(24')). Длины связей Zn(1)—O (1,936(3)—2,006(3) Å) и Zn(2)—O (2,032(8)—2,083(3) Å) лежат в пределах обычных расстояний для тетраэдрических и октаэдрических комплексов Zn(II) соответственно. Связываясь посредством мостиковых карбоксилатных групп (по  $\mu_2,\eta^2$ -типу), катионы Zn(1) и Zn(2) образуют трехъядерные фрагменты  $\{Zn_3(\mu_2\text{-RCOO}-O,O')_6L_2\}$  (см. рис. 1). Такие трехъядерные фрагменты соединяются друг с другом посредством мостиковых лигандов bpdc<sup>2-</sup>, образуя слои гексагональной топологии (рис. 2). Укладываясь вдоль нормали к плоскости (101), слои образуют пятислойную упаковку (рис. 3). Выступающие над и под каждым слоем координированные молекулы DMA попадают в пустоты

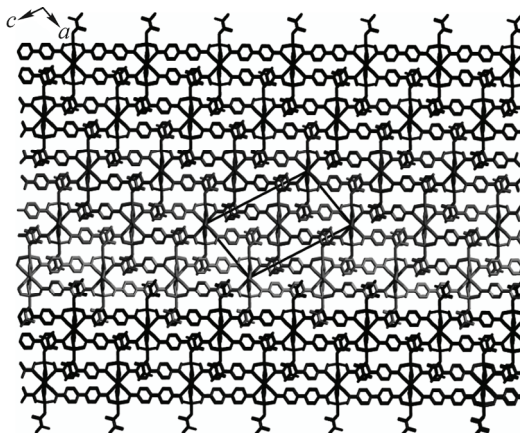


Рис. 3. Упаковка слоев в **1**

Рис. 4. Координационное окружение катионов цинка в **2**. Координаты зависимых атомов получены следующими операциями симметрии: <sup>i</sup>  $1/2+x, 3/2-y, 1/2+z$ ; <sup>ii</sup>  $-x, 1-y, 1-z$ ; <sup>iii</sup>  $-1/2-x, -1/2+y, 1/2-z$

Расстояние Zn(1)—O(1M) значительно длиннее и составляет 2,376(19) Å, при этом позиция O(1M) заселена на четверть. Таким образом, координационное число Zn(1) равно 4+1. Координированный имидазол разупорядочен по двум ориентациям (см. рис. 4). Октаэдрическое окружение Zn(2) состоит из шести атомов кислорода (O(12), O(14), O(21)) карбоксильных групп шести лигандов  $bdc^{2-}$ . Длины связей Zn(2)—O( $bdc$ ) лежат в диапазоне 2,041(3)–2,183(3) Å. Катионы Zn(1) и Zn(2) связаны между собой посредством мостиковых карбоксилатных групп лигандов  $bdc^{2-}$  (4 по  $\mu_2,\eta^2$ -типу и 2 по  $\mu_2,\eta^1$ -типу), образуя при этом трехъядерный фрагмент  $\{Zn_3(\mu_2\text{-RCOO-O},O')_4(\mu_2\text{-RCOO-O})_2L_2\}$  (см. рис. 4). Такие трехъядерные фрагменты соединяются друг с другом посредством мостиковых лигандов  $bdc^{2-}$ , образуя слои гексагональной топологии, аналогичные найденным в **1** (рис. 5). Укладываясь вдоль нормали к плоскости (101), слои образуют двухслойную упаковку (рис. 6). В межслоевом пространстве располагаются выступающие над и под каждым слоем молекулы координированного имидазола и разупорядоченные гостевые молекулы воды.

Полученные МОКП **1** и **2** обладают схожим строением с описанными в литературе  $[Zn_3(bdc)_3(EtOH)_2]$  [4],  $[\text{NH}_2(\text{CH}_3)_2]_2[Zn_3(bdc)_4]\cdot\text{DMF}\cdot\text{H}_2\text{O}$ ,  $[\text{NH}_2(\text{CH}_3)_2]_2[Zn_3(bpdc)_4]\cdot5\text{DMF}$  [5],  $[Zn_3(bdc)_3(\text{H}_2\text{O})_2]\cdot4\text{DMF}$  [6]. Однако лигандное окружение из DMA и имидазола описано впервые. Интересным представляется то, что в кристаллах соединения **1** реализуется пятислойная упаковка слоев, что является редко встречающимся случаем в химии слоистых МОКП.

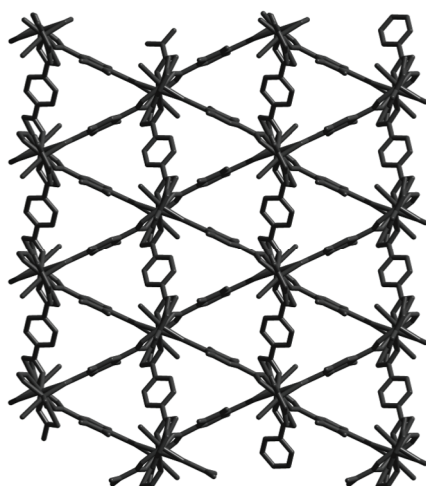
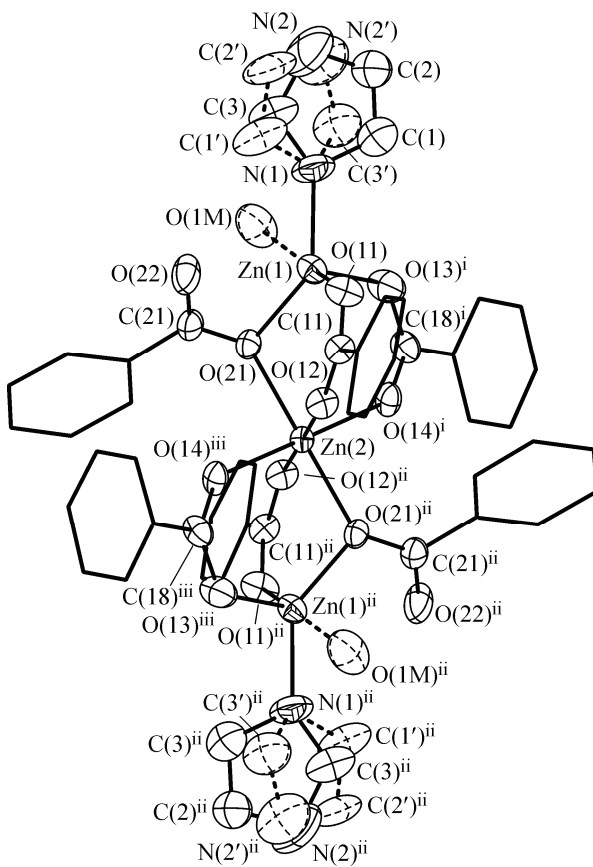


Рис. 5. Строение слоя в **2**

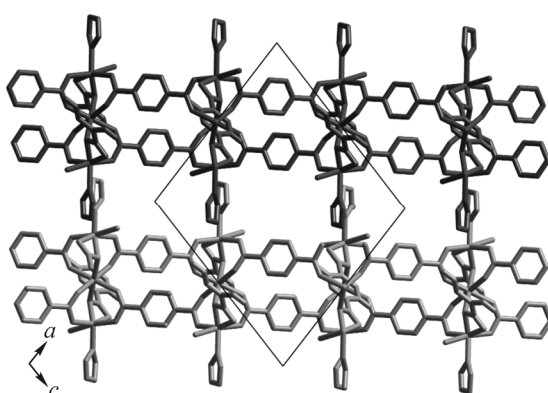


Рис. 6. Упаковка слоев в **2**

### ЗАКЛЮЧЕНИЕ

Таким образом, в настоящей работе получены и изучены структуры двух новых слоистых металл-органических координационных полимеров  $[Zn_3(dma)_2(bpdc)_3] \cdot 3DMA$  (**1**) и  $[Zn_3(im)_2 \cdot (bdc)_3] \cdot 1,5H_2O$  (**2**). Строение и состав полученных МОКП определены методом РСА. Оба МОКП состоят из трехъядерных карбоксилатных комплексов цинка. Упаковка слоев в соединениях **1** и **2** — пяти- и двухслойная соответственно.

Работа выполнена при финансовой поддержке Российской академии наук (программа Отделения химии и наук о материалах РАН 5.6.1), Российского фонда фундаментальных исследований (проект № 11-03-00112).

### СПИСОК ЛИТЕРАТУРЫ

1. Robson R. // J. Chem. Soc., Dalton Trans. – 2000. – P. 3735 – 3744.
2. Yaghi O.M., O'Keeffe M., Ockwing N.W. et al. // Nature. – 2003. – **423**. – P. 705 – 714.
3. Suh M.P., Park H.J., Prasad T. et al. // Chem. Rev. – 2012. – **112**. – P. 782 – 835.
4. Юткин М.П., Дыбцев Д.Н., Федин В.П. // Успехи химии. – 2011. – **80**. – С. 1061 – 1086.
5. Hawxwell S., Adams H., Brammer L. // Acta Crystallogr. – 2006. – **B62**. – P. 808 – 814.
6. Sapchenko S.A., Dybtsev D.N., Samsonenko D.G. et al. // New J. Chem. – 2010. – **34**. – P. 2445 – 2450.
7. Sun J., Zhou Y., Fang Q. // Inorg. Chem. – 2006. – **45**. – P. 8677 – 8684.
8. Williams C., Blake A., Hubberstey P. // Chem. Commun. – 2005. – P. 5435 – 5437.
9. Завахина М.С., Самсоненко Д.Г., Юткин М.П. и др. // Журн. структур. химии. – 2012. – **53**. – С. 404 – 407.
10. Bruker Advanced X-ray Solutions. Bruker AXS Inc.: Madison, WI, 2004.
11. Sheldrick G.M. // Acta Crystallogr. – 2008. – **A64**. – P. 112 – 122.